

玻尔模型

经典物理认为卢瑟福的原子的行星模型是不能稳定的, 玻尔提出能量量子化, 为确定轨道, 提出圆形轨道角动量子化条件 $mvr=n\hbar$, 后来索莫菲推广到任何周期运动有量子化条件 $\oint p_i dq_i = nh$
 $m \frac{v^2}{r} = \frac{e^2}{r^2}$, $l=mvr=\sqrt{me^2r}=pr=\frac{hr}{\lambda}$ 德布罗意波绕圆周形成驻波, $2\pi r=n\lambda$, $l_n=n\hbar \rightarrow r_n=\frac{l^2}{me^2}=n^2a_0$

Bohr radius

玻尔半径

$$a_0 = \frac{4\pi\epsilon_0\hbar^2}{me^2} = \frac{\hbar}{\alpha m_e c} \approx 0.53 \text{ \AA}$$

fine structure constant

精细结构常数

$$\alpha = \frac{1}{4\pi\epsilon_0} \frac{e^2}{\hbar c} \approx \frac{1}{137.036}$$

位力定理, 平方反比 $E=T+V=\frac{V}{2}$ 氢原子的能级公式 $E_n = -\frac{1}{4\pi\epsilon_0} \frac{e^2}{2r_n} = -\frac{\alpha^2 m_e c^2}{2n^2} = -\frac{R_H}{n^2}$

或者用变分法, $2\pi r=n\lambda=\frac{nh}{p} \rightarrow p=\frac{n\hbar}{r}$, $E=\frac{n^2\hbar^2}{2mr^2} - \frac{1}{4\pi\epsilon_0} \frac{e^2}{r}$, $\partial_r E=0 \rightarrow r=n^2a_0 \rightarrow E=-\frac{\hbar^2}{2m} \frac{1}{n^2a_0^2}$

氢原子的里德伯常量 $R_H \approx 13.6 \text{ eV}$

约化质量修正: m_e 换成 $\mu = \frac{m_e m_p}{m_e + m_p}$

reduced Coulomb potential

屏蔽库仑势

$$\text{修正 } E = -\frac{\alpha^2 \mu c^2}{2(n + \Delta_{n,l})^2}$$

氢原子

$V = -\frac{e^2}{4\pi\epsilon_0 r}$ 零阶 $H_0 = -\frac{\hbar^2 \nabla^2}{2m} + V$ 可精确求解

设 $R_l(r) = \frac{f_l(r)}{r}$, 得 [径向方程] $f'' + \left[\frac{2\mu}{\hbar^2} (E - V) - \frac{l(l+1)}{r^2} \right] f = 0$, $\frac{1}{\mu} = \frac{1}{m_e} + \frac{1}{m_p}$, 边界条件 $f_l(0)=0$

记 $\hbar k = \sqrt{-2\mu E}$, $\rho = kr$, $\rho_0 = \frac{1}{4\pi\epsilon_0} \frac{2\mu e^2}{\hbar^2 k}$, 方程化为 $\frac{d^2 f}{d\rho^2} = \left[1 - \frac{\rho_0}{\rho} + \frac{l(l+1)}{\rho^2} \right] f$
 $r \rightarrow \infty$ 渐进解为 $f_l(r) \propto e^{\pm kr}$, 取正号不满足束缚态, 再设 $f_l(r) = r^{l+1} e^{-kr} u(r)$, 得
 $\rho u'' + (2l+2-\rho)u' - (l+1-\frac{1}{k})u = 0$, 此为合流超几何方程, 要求 $n \in \mathbb{N}^* \rightarrow$

$$E_n = -\frac{e^2}{2a_0} \frac{1}{n^2}?$$

另有 $C_{n+l}^{n-l-1} F(-n+l+1, 2l+2, \rho) = L_{n-l-1}^{2l+1}$, 最终解一般写成:

$$R_{nl}(r) = \sqrt{\left(\frac{2}{na_0}\right)^3 \frac{(n-l-1)!}{2n(n+l)!}} e^{-\rho/2} \rho^l L_{n-l-1}^{2l+1}(\rho), \quad \rho = \frac{2r}{na_0}$$

$$\psi_{100} = \frac{1}{\sqrt{\pi a_0^3}} e^{-\frac{r}{a_0}}, \quad \psi_{200} = \frac{1}{2\sqrt{2\pi a_0^3}} \left(1 - \frac{r}{2a_0}\right) e^{-\frac{r}{2a_0}}, \quad \psi_{210} = \frac{1}{2\sqrt{2\pi a_0^3}} \frac{r}{2a_0} e^{-\frac{r}{2a_0}} \cos\theta, \quad \psi_{21\pm 1} = \frac{1}{4\sqrt{\pi a_0^3}} \frac{r}{2a_0} e^{-\frac{r}{2a_0}} \sin\theta e^{\pm i\phi}$$

$$\psi_{300} = \frac{1}{3\sqrt{3\pi a_0^3}} \left[1 - 2\frac{r}{3a_0} + \frac{2}{3}\left(\frac{r}{3a_0}\right)^2\right] e^{-\frac{r}{3a_0}}, \quad \psi_{310} = \frac{\sqrt{2}}{9\sqrt{\pi a_0^3}} \left(2 - \frac{r}{3a_0}\right) \frac{r}{3a_0} e^{-\frac{r}{3a_0}} \cos\theta$$

例 氢原子处于基态时, $r > 2a_0$ 的区域是经典电子不能去的, 因为该区域 $E_k = E_1 - V < 0$

然而可以计算电子处于非经典区域的概率 $P = \frac{4\pi}{\pi a_0^3} \int_{2a_0}^{\infty} e^{-2\frac{r}{a_0}} r^2 dr = 13e^{-4} \approx 0.238$

$(r^2 e^{-2r/a_0})' = 0$ 最概然半径 $\hat{r} = a_0$

基态动量表象 $\psi(p) = \frac{1}{(2\pi\hbar)^{3/2}} \frac{1}{\sqrt{\pi a_0^3}} \int_0^{\infty} e^{-\frac{r}{a_0}} r^2 dr \left(-\int_0^{\pi} e^{-ikr \cos\theta} d\cos\theta d\varphi\right) = \frac{1}{\pi a_0} \left(\frac{2}{a_0\hbar}\right)^{\frac{3}{2}} \left(\frac{1}{a_0^2} + \frac{p^2}{\hbar^2}\right)^{-2}$

类氢原子

类氢原子 $R_H = (Z\alpha c)^2 \frac{\mu}{2}$

总结: 都直接替换玻尔半径即可 $\beta = \frac{Z}{a_0}$

$E = Z^2 E_n$, 基态波函数 $\psi_1 = \sqrt{\frac{\beta^3}{\pi}} e^{-\beta r}$, $\langle r \rangle = \frac{3}{2} \frac{a_0}{Z}$, 最概然 $\hat{r} = \frac{a_0}{Z}$

光谱学

分离变量法, 氢原子本征态就是径向函数乘轨道角动量本征态 $\langle (r, \theta, \phi) | nlm \rangle = R_{nl}(r) Y_{lm}(\theta, \phi)$

主量子数 $n=1, 2, 3, \dots$, 化学上记作 KLMNOPQR...

角量子数 $l=0, 1, 2, \dots, (n-1)$, 光谱学上记作 *s p d f g h i k l m n o q*...

第 n 个能级最低价近似下简并度为 $\sum_{l=0}^{n-1} (2l+1) = n^2$

预告

玻尔能级	$\sim \alpha^2 m_e c^2$	eV
精细结构	$\sim \alpha^4 m_e c^2$	meV
兰姆位移	$\sim \alpha^5 m_e c^2$	μeV
超精细结构	$\sim \frac{m_e}{m_p} \alpha^4 m_e c^2$	μeV

双态

氨分子翻转双态, 哈氏量 $H = \begin{bmatrix} E_0 & a \\ a & E_0 \end{bmatrix}$, $E_0, a \in \mathbb{R}$, ($a < 0$?) 求本征值 $|H - EI| = 0$ 得 $E_{\pm} = E_0 \pm a$,

求本征矢 $(H - EI)\psi = 0$ 得 $|\psi_{\pm}\rangle = \frac{1}{\sqrt{2}} \begin{bmatrix} 1 \\ \pm 1 \end{bmatrix}$

换到定态的表象, 若初态为 $|\psi, 0\rangle = \begin{bmatrix} 1 \\ 0 \end{bmatrix} = \frac{1}{\sqrt{2}}(|\psi_+\rangle + |\psi_-\rangle)$

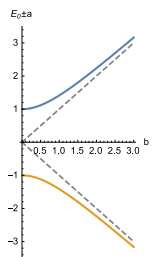
则时间演化 $|\psi, t\rangle = e^{-i(E_0+a)t/\hbar} |\psi_+\rangle + e^{-i(E_0-a)t/\hbar} |\psi_-\rangle = e^{-iE_0 t/\hbar} \begin{bmatrix} \cos(at/\hbar) \\ -i \sin(at/\hbar) \end{bmatrix}$

可验证 $|c_1(t)|^2 + |c_2(t)|^2 = \cos^2 + \sin^2 = 1$, 即交替震荡, 短时间内跃迁概率 $\propto (at)^2$

微波激励

氨分子处于电场中, 静电能变化等于电偶极矩乘电场强度 $b = \mu_E E$

$H = \begin{bmatrix} E_0 + b & a \\ a & E_0 - b \end{bmatrix}$, 求本征值 $|H - EI| = 0$ 得 $E_{\pm} = E_0 \pm \sqrt{a^2 + b^2}$



相对论修正

$\sqrt{\hat{p}^2 c^2 + m^2 c^4} = mc^2 \sqrt{1 + \frac{\hat{p}^2}{m^2 c^2}} \approx mc^2 + \frac{\hat{p}^2}{2m} - \frac{\hat{p}^4}{8m^3 c^2}$ 故取 $\hat{H}' = -\frac{\hat{p}^4}{8m^3 c^2}$,

有简便解法 $-\frac{\hat{p}^4}{8m^3 c^2} = -\frac{1}{2mc^2} \left(\frac{\hat{p}^2}{2m} \right)^2 = -\frac{1}{2mc^2} \left(\hat{H}_0 + \frac{e^2}{r} \right)^2$

由位力定理 $\langle nlm | \frac{e^2}{r} | nlm \rangle = -2E_n = -\frac{e^2}{n^2 a_0}$, 从有效势中抽取 l ? $\langle nlm | \left(\frac{e^2}{r} \right)^2 | nlm \rangle = \frac{4n}{l + \frac{1}{2}} E_n^2 = \frac{e^4}{(l + \frac{1}{2}) n^3 a_0^2}$

$\langle nlm | \hat{H}' | nlm \rangle = -\frac{1}{2mc^2} (E_n^2 - 4E_n^2 + \frac{4n}{l + \frac{1}{2}} E_n^2)$

由于 \vec{L} 和 \vec{p}^2 对易, 故在 n^2 维简并子空间求解, 又 \hat{H}' 和角度无关, 故已经在子空间对角

$E_{\text{re}} = -\frac{E_n^2}{2mc^2} \left(\frac{4n}{l + \frac{1}{2}} - 3 \right)$

自旋轨道耦合

在电子看来, 质子也在绕电子以 $-\vec{v}$ 转 ($T = \frac{2\pi r}{v}$), 产生磁场 $\vec{B}_{\text{eff}} = \frac{\mu_0 e}{2r T} = -\frac{e\mu_0}{4\pi r^2} (\vec{v} \times \vec{e}_r) = -\frac{1}{4\pi\epsilon_0} \frac{e}{mc^2 r^3} \vec{L}$

Tomas precession

$\mu_s = g_e \frac{e}{2m_e} \vec{S}$, $g_e \approx 2.0$, 然后换回惯性系时, 根据 **托马斯进动** 又除 2

哈氏量加入 **自旋轨道耦合** 项 $H_{\text{so}} = -\vec{\mu}_s \cdot \vec{B}_{\text{eff}} = \frac{1}{8\pi\epsilon_0} \frac{e^2}{mc^2 r^3} \vec{S} \cdot \vec{L}$

耦合表象是 \hat{H}' 的本征态, 能量的一级修正就是对角元 $\langle \vec{S} \cdot \vec{L} \rangle = \frac{\hbar^2}{2} [j(j+1) - l(l+1) - s(s+1)]$

$E_{\text{so}} = \frac{E_n^2}{mc^2} \left(3 - \frac{n[j(j+1) - l(l+1) - \frac{3}{4}]}{l(l + \frac{1}{2})(l+1)} \right)$

(解决 $l=0$ 时分母为零的问题要引入 **达尔文项**)

精细结构

E_{re} 和 E_{so} 在同一量级, $E_{fs} = \frac{E_n^2}{2mc^2} \left(3 - \frac{4n}{j + \frac{1}{2}} \right)$

加入玻尔能级得 $E_{nj} = E_n \left[1 + \frac{\alpha^2}{n^2} \left(\frac{n}{j + \frac{1}{2}} - \frac{3}{4} \right) \right]$

破除 l 简并, m_l, m_j 不再是好量子数, 未破除 j 简并, n, l, s, j, m_j 还是好量子数

狄方程

可精确解出

$$E_{nj} = mc^2 \left[\left(1 + \left(\frac{\alpha}{n - (j + \frac{1}{2}) + \sqrt{(j + \frac{1}{2})^2 - \alpha^2}} \right)^2 \right)^{-\frac{1}{2}} - 1 \right]$$

$\alpha \ll 1$, 展开到 α^4 即得传统的结果

氢原子扯远

能谱有下界, 对量子系统, 甚至中心力场系统, 都不是普适的, 对于 $V(r) = -1/r^s$ 类型的中心势场, 只有当 $s < 2$ 时这一条件才能满足, 反之系统能量不存在下限, 这时粒子会向力心无限坠落, 称为“朗道坠落”, 在朗道的那本《非相对论量子力学》中有讨论。

一维二维的氢原子

开普勒椭圆轨道波包?

微扰论

能够精确求解 $\hat{H}_0 |k\rangle = E_k |k\rangle$, 现加入微扰 $\hat{H} = \hat{H}_0 + \hat{H}'$ (算符比大小无意义, 一般是看矩阵元, 经典对应)

↓ 若精确解太复杂, 可由无微扰出发, 在 \hat{H}_0 表象下, 修正出近似解 (本节例主要为束缚态, 势上加微扰)

nondegenerate time-independent perturbation

非简并定态微扰 $(\hat{H}_0 + \hat{H}')(|k^{(0)}\rangle + |k^{(1)}\rangle + |k^{(2)}\rangle + \dots) = (E_k^{(0)} + E_k^{(1)} + E_k^{(2)} + \dots)(|k^{(0)}\rangle + |k^{(1)}\rangle + |k^{(2)}\rangle + \dots)$

按微扰阶数分组, 分别对应相等 (一般修正到第一个不为零的阶, 混入高阶不一定更精确, 反而不自洽)

$\hat{H}_0 |k^{(0)}\rangle + (\hat{H}_0 |k^{(1)}\rangle + \hat{H}' |k^{(0)}\rangle) + (\hat{H}_0 |k^{(2)}\rangle + \hat{H}' |k^{(1)}\rangle) + \dots$ 首先得 $|k^{(0)}\rangle = |k\rangle$, $E_k^{(0)} = E_k = E_k^{(0)} |k^{(0)}\rangle + (E_k |k^{(1)}\rangle + E_k^{(1)} |k^{(0)}\rangle) + (E_k |k^{(2)}\rangle + E_k^{(1)} |k^{(1)}\rangle + E_k^{(2)} |k\rangle) + \dots$ 以后总这样归一 $\langle k^{(0)} | k \rangle = 1$ (最后求概率时需重新将总的近似波函数归一化)

$$(\hat{H}_0 - E_k) |k^{(1)}\rangle = \sum_n (E_n - E_k) C_n |n\rangle = -(\hat{H}' - E_k^{(1)}) |k\rangle \xrightarrow[n \neq k]{\text{求 } C_n} E_k^{(1)} = \langle k | \hat{H}' | k \rangle \xrightarrow[n \neq k]{\text{求 } C_n} |k^{(1)}\rangle = \sum_{n \neq k} \frac{\langle n | \hat{H}' | k \rangle}{E_k - E_n} |n\rangle$$

$$\text{左乘 } \langle k |, \langle k | k^{(1)} \rangle = 0 \rightarrow E_k^{(2)} = \langle k | \hat{H}' | k^{(1)} \rangle = \sum_{n \neq k} \frac{|\langle n | \hat{H}' | k \rangle|^2}{E_k - E_n} \text{ 左乘 } \langle k | \text{ 递推 } E_k^{(m)} = \langle k^{(0)} | \hat{H}' | k^{(m-1)} \rangle$$

$$\text{一阶左乘 } |k^{(2)}\rangle \text{ 二阶左乘 } |k^{(1)}\rangle E_k^{(3)} = \langle k^{(1)} | (\hat{H}' - E_k^{(1)}) | k^{(1)} \rangle = \sum_{m, n \neq k} \frac{\hat{H}'_{km} \hat{H}'_{mn} \hat{H}'_{nk}}{\Delta E_{km} \Delta E_{kn}} - \hat{H}'_{kk} \sum_{n \neq k} \frac{|\hat{H}'_{nk}|^2}{\Delta E_{kn}^2}$$

$$\rightarrow |k^{(2)}\rangle = \sum_{m, n \neq k} \frac{\hat{H}'_{km} \hat{H}'_{mn}}{\Delta E_{km} \Delta E_{kn}} |k\rangle - \hat{H}'_{kk} \sum_{n \neq k} \frac{\hat{H}'_{nk}}{\Delta E_{kn}^2} |k\rangle \text{ (无需 } |k^{(2)}\rangle \text{ 就得到了 } E_k^{(3)})$$

微扰只有收敛才有意义, 收敛的必要条件 $|\hat{H}'_{nk}| \ll |E_n - E_k|$ ($n \neq k$), 故连续表象不适用

(实践中一般直接尝试多算几阶然后观察) (重整化: 几个无穷大重组可消掉发散) (高能 -)

例 电介质极化率 电场中的谐振子

光谱都扔到光学?

quadratic Stark effect

例 二次斯塔克效应 氢原子在匀强电场中

quadratic Zeeman effect

例 二次塞曼效应 氢原子在匀强磁场中

↓ 存在 $E_k \approx E_n$ 时不适用 (如零阶能量存在简并), 若不同能级间关联较小, 可只在简并子空间进行计算

degenerate time-independent perturbation

简并定态微扰 $(\hat{H}_0 + \hat{H}')|k\rangle = (E_k + E_k^{(1)})|k\rangle$, 已知 $E_k^{(0)} = E_k$, 该能级简并度 g , 施密特正交化得 $|k_i\rangle$ (正交化选择波函数时要充分利用对称性, 可简化以后的计算)

零阶波函数 $|k^{(0)}\rangle = \sum_i^g C_i |k_i\rangle$, 代入一阶微扰方程, 左乘 $\langle k_j|$, 约定高阶与零阶正交 $\langle k_j|k^{(1)}\rangle = 0$, 得

$0 = \sum_i^g C_i (\langle k_j|\hat{H}'|k_i\rangle - E_k^{(1)}\delta_{ji})$ 关于 C_i 的方程组有非平凡解 \rightarrow **久期方程** $|H' - \text{diag}[E_k^{(1)}]I| = 0$ 故 $E_k^{(1)}$ 就是 \hat{H}' 的本征值, 在 \hat{H}_0 表象下 $\hat{H}|k_i\rangle = (E_k + E_k^{(1)})|k_i\rangle$ 故 $|k_i\rangle$ 就是正确的零阶波函数

linear Stark effect

例 线性斯塔克效应 外电场中的氢原子

含时微扰

time-dependent perturbation

势函数含时, 且含时部分 \hat{H}' 和不含时部分 \hat{H}_0 相比很小 \rightarrow **含时微扰** $\hat{H}(t) = \hat{H}_0 + \hat{H}'(t)$
 \hat{H}_0 的精确解为 E_n 和 $|n\rangle$

含时微扰问题, 就是要求在宏观时间后 $t \rightarrow \infty$ 系统从一个初始定态 a 跃迁到另一个定态 b 的跃迁几率 $W_{a \rightarrow b}(t) = |C_b(t)|^2$

设系统初态处于某定态 $\psi(\vec{r}, 0) = |a\rangle$, 之后的态可定态展开 $\psi(t) = \sum_n C_n(t) |n\rangle e^{-iE_n t/\hbar}$, $C_n(0) = \delta_{na}$

含时薛方程 $i\hbar \partial_t \psi = (\hat{H}_0 + \hat{H}')\psi$, 代入 ψ , 左边对时间项求导出的 E_n 和右边 \hat{H}_0 消掉了, 左乘 $\langle \psi_b|$

$$i\hbar \frac{dC_b}{dt} = \sum_n H'_{bn} C_n e^{i\omega_{bn}t}, \quad E_b - E_n = \hbar\omega_{bn}$$

(此方程是严格的, 积分方程相比微分方程的好处是内含初始条件, 求解用迭代法)

零级近似 $C_n^{(0)}(t) = \delta_{na}$ 代回方程积分 一级近似 $C_b^{(1)}(t) = \frac{1}{i\hbar} \int_0^t H'_{ba}(\tau) e^{i\omega_{ba}\tau} d\tau$ 还是代回积分

二级近似 $C_c^{(2)}(t) = -\frac{1}{\hbar^2} \sum_b \int_0^t H'_{cb}(\tau) e^{i\omega_{cb}\tau} \left[\int_0^\tau H'_{ba}(\tau') e^{i\omega_{ba}\tau'} d\tau' \right] d\tau$ ($|a\rangle$ 间接跃迁到 $|c\rangle$), $C_b^{(2)}(t) = C_b^{(1)}(t)$

transition

体系由 $|a\rangle \rightarrow |b\rangle$ **跃迁** 的概率 $P_{a \rightarrow b}(t) = |C_b^{(1)}(t)|^2 + |C_b^{(2)}(t)|^2 + \dots$ (需重新归一化) (E_a 可以等于 E_b , 弹性散射)

(迭代法收敛同样也是要求势很小)

interaction/Dirac picture

以上是在薛定谔图景, 现把 \hat{H}_0 的部分提出去, 剩下 **相互作用/狄拉克图景** $|\psi, t\rangle_I = e^{\frac{i}{\hbar}\hat{H}_0 t} |\psi, t\rangle_S$
 $\hat{H}_{0I} = \hat{H}_{0S}$, $\hat{H}'_I = e^{\frac{i}{\hbar}\hat{H}_0 t} \hat{H}'_S e^{-\frac{i}{\hbar}\hat{H}_0 t}$

"图景" 就是体系的时间演化	薛定谔图景	相互作用图景	海森堡图景
态矢 $ \psi\rangle$	$ \psi, t\rangle = \hat{U}(t) \psi, 0\rangle$	演化, 只与 \hat{H}' 有关	不随时间变
可观测量 \hat{F}	不随时间变	演化, 只与 \hat{H}_0 有关	$\hat{F}(t) = \hat{U}^\dagger(t) \hat{F}(0) \hat{U}(t)$
基矢 $ f\rangle$	不随时间变	(同可观测量)	$ f, t\rangle = \hat{U}^\dagger(t) f, 0\rangle$
运动学方程	薛定谔方程 $i\hbar \partial_t \psi, t\rangle = \hat{H} \psi, t\rangle$	$i\hbar \partial_t \psi, t\rangle = \hat{H}' \psi, t\rangle$ $i\hbar \partial_t \hat{F} = [\hat{F}, \hat{H}_0]$	海森堡方程 $i\hbar \frac{d}{dt} \hat{F} = [\hat{F}, \hat{H}]$

(可以验证态矢在基矢上分解的系数不变, 力学量在某态矢上求平均值不变)

时间演化算符在相互作用绘景写起来会很简单

sudden

突发微扰

adiabatic

绝热微扰

sinusoidal/periodic perturbation

周期微扰 $H'(\vec{r}, t) = V(\vec{r}) \cos(\omega t)$

故跃迁发生要求 $\hbar\omega = \Delta E$

transition rate

跃迁速率

常微扰

跃迁

挪到光学?

electric dipole approximation

电偶极近似 电子运动的尺度 \ll 光波长

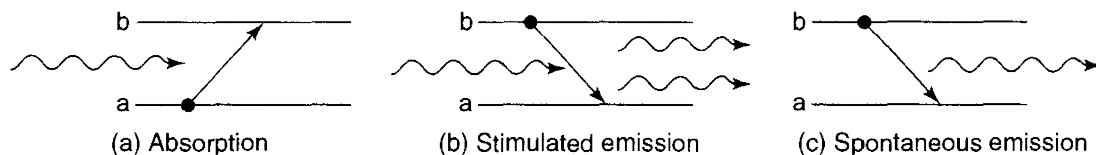
(- 热统) 设 $N_1 N_2$ 为能级 $E_1 E_2$ 上粒子数, g 为能级 $E_1 E_2$ 的简并度

由玻尔兹曼定律 $\frac{N_2}{N_1} = \frac{g_2}{g_1} e^{-\hbar\omega/k_B T}$, 得玻尔兹曼分布 $u(\omega) = \frac{\hbar\omega^3}{\pi^2 c^3} \frac{1}{e^{\hbar\omega/k_B T} - 1}$
spectral energy density of the electromagnetic field

$u(\omega)$ 为热平衡温度 T 的粒子体系中 电磁辐射能量体密度的谱函数

Einstein AB coefficients

爱因斯坦 AB 系数



spontaneous emission

radiative lifetime

自发辐射 $dN_2 = -A_{21} N_2 dt$ **辐射寿命** $\tau = 1/A_{21}$

(如果完全不受微扰, 则应永远停在本征态, 但由于有零点能, 自发辐射实际上还是由于受激!)

absorption

(受激) 吸收 $dN_1 = -B_{12} N_1 u(\omega) dt$, 加入 u 是指只有 ω 附近频谱能导致吸收

stimulated emission

受激辐射 $dN_2 = -B_{21} N_2 u(\omega) dt$ 概率等于受激吸收 (经典无此概念)

detailed balance

细致平衡 数目 $N_1 N_2$ 保持平衡, $B_{12} N_1 u(\omega) = A_{21} N_2 + B_{21} N_2 u(\omega)$

要对所有 T 恒成立, 得 $g_1 B_{12} = g_2 B_{21}$, $A_{21} = \frac{\hbar\omega^3}{\pi^2 c^3} B_{21}$

Fermi's golden rule

费米黄金定则 $W_{a \rightarrow b}(t) = \frac{2\pi}{\hbar} |M_{ab}|^2 g(\hbar\omega)$, g 为 **态密度**

matrix element for the transition

electric dipole

跃迁矩阵元 $M_{ab} = \langle \psi_a | H' | \psi_b \rangle$, 对于 电偶极跃迁 $E1$, $H' = -\vec{p} \cdot \vec{E}_0$, 电偶极矩 $\vec{p} = q\vec{r}$

$$A_{ji} = \frac{e^2 \omega^3}{3\pi \epsilon_0 \hbar c^3} \frac{1}{g_j} \sum_{m_j, m_i} |\langle j, m_j | \vec{r} | i, m_i \rangle|^2$$

跃迁 宇称变化	E1 -	M1 +	E2 +	M2 -	E3 -
$\tau = 1/A_{21}$	1~100 ns	0.01~1 ms		0.1~10 s	

电极化率

带电谐振子在外电场中, $\hat{H}_0 = \frac{\hat{p}^2}{2m} + \frac{1}{2} m \omega^2 \hat{x}^2$, $\hat{H}' = -qE\hat{x}$

能量一级修正 $E_k^{(1)} = H'_{kk} = 0$

$$|k^{(1)}\rangle = -qE \sum_{n \neq k} \frac{\langle n | \hat{x} | k \rangle}{E_k - E_n} |n\rangle = -qE \sqrt{\frac{\hbar}{2m\omega}} \left(\frac{\sqrt{k}}{\hbar\omega} |k-1\rangle + \frac{\sqrt{k+1}}{-\hbar\omega} |k+1\rangle \right) \quad \langle x \rangle = \langle k^{(0)} | \hat{x} | k^{(0)} \rangle = \frac{qE}{m\omega^2}?$$

正负电荷分别移动了这个距离, 外电场诱导产生电偶极矩 $D = \frac{2q^2 E}{m\omega^2}$, 电介质极化率为 $\kappa = \frac{D}{E} = \frac{2q^2}{m\omega^2}$

能量修正到二级 $E_k^{(2)} = \langle k | \hat{H}' | k^{(1)} \rangle = \frac{q^2 E^2 \hbar}{2m\omega} \left(\frac{k}{\hbar\omega} + \frac{k+1}{-\hbar\omega} \right) = -\frac{q^2 E^2}{2m\omega^2}$ 极化率另一种定义 $\Delta E = -\frac{1}{2} \kappa |\vec{E}|^2$

另可用配方法精确求解 $(-\frac{\hbar^2}{2m} d_x^2 + \frac{1}{2} m \omega^2 x^2 - qEx) \psi = E \psi \rightarrow \left[-\frac{\hbar^2}{2m} d_x^2 + \frac{1}{2} m \omega^2 \left(x - \frac{qE}{m\omega^2} \right)^2 \right] \psi = \left(E + \frac{q^2 E^2}{2m\omega^2} \right) \psi$

所以新的能量 $E = \left(n + \frac{1}{2} \right) \hbar\omega - \frac{q^2 E^2}{2m\omega^2}$, 新的波函数精确解 $\psi = \psi_n \left(x - \frac{qE}{m\omega^2} \right)$, 说明二阶微扰已给出精确解

斯塔克效应

氢原子在匀强电场中, 选电场方向为 z 轴, $\hat{H}' = eEr \cos \theta$ (原子内部场强为 10^{11} V/m 的量级)

第二激发态 4 重简并 $\psi_{200}, \psi_{210}, \psi_{211}, \psi_{21-1}$ (基矢按 $\Delta m = 0$ 排列, 将来矩阵会分块)

由球谐函数奇偶性, 只有 $\hat{H}'_{12} = \hat{H}'_{21}$ 不为零, 积分得 $= -3eEa_0$,

$$\text{解} \begin{vmatrix} -\lambda & -3eEa_0 & 0 & 0 \\ -3eEa_0 & -\lambda & 0 & 0 \\ 0 & 0 & -\lambda & 0 \\ 0 & 0 & 0 & -\lambda \end{vmatrix} = 0$$

linear Stark effect

得 $E_2^{(1)} = \lambda = \{3eEa_0, -3eEa_0, 0, 0\}$, 故称为 **线性斯塔克效应**

把解代回去, 得对应零级近似波函数 $\{\frac{1}{\sqrt{2}}(\psi_{200} - \psi_{210}), \frac{1}{\sqrt{2}}(\psi_{200} + \psi_{210}), \dots\}$

类似可讨论 $n=3$ 的 9 个态, 会分解为 5 个子空间, 维数 $(3+2+2+1+1)$

一般地, 如果一个态可以写作两宇称相反的态的叠加, 则就像有一永久电偶极矩 ($3ea_0$) 一样, 取向分别为 $\{ \text{平行}, \text{反平行}, \text{垂直}, \text{垂直} \}$

quadratic Stark effect

然而如果外电场很小, 以至于比兰姆位移还小, 则需改用非简并微扰, 结论是 **二次斯塔克效应** (忽略 3 次及更高项)

(粒子可以逃出原来的库仑势了, 原来的束缚态现有寿命了, 能级 shift 的虚部可给出寿命, 以下我们忽略) 自旋简并也忽略

塞曼效应

类氢原子在匀强磁场 $\vec{B} = B\vec{e}_z$ 中, l 为价电子处于的轨道角动量

$$H' = -(\vec{\mu}_s + \vec{\mu}_l) \cdot \vec{B} + \omega \vec{S} \cdot \vec{L} = \frac{e}{2m} (2\vec{S} + \vec{L}) \cdot \vec{B} + \omega \vec{S} \cdot \vec{L}$$

若 $B \ll B_{\text{eff}}$, 可视作精细结构上加了微扰

若 $B \gg B_{\text{eff}}$, 则视精细结构为微扰

对于 $B \sim B_{\text{eff}}$ 的情况, 需都作为微扰, 对角化大型哈氏量

(- 见冷原子第一次作业)

核磁共振

MOT

magneto-optical trap

磁光阱

亥姆霍兹线圈, 电流相反, 磁场强度在中央为零, 向外线性增强

塞曼分裂 $\Delta E = g_F \mu_B m_F |\vec{B}|$, 总角动量 $F=0, 1$, 磁量子数 $m_F = -F, \dots, F$

6 束强度频率相等的沿传播方向均为顺时针的圆偏振激光, σ^+ 激发 $\Delta m_F = 1$ 的跃迁, σ^- 激发 $\Delta m_F = -1$ 的跃迁

光的频率 ω 选得小于共振频率 ω_0 , 从而 $z > 0$ 的原子吸收 σ^- 光较多, $z < 0$ 的原子吸收 σ^+ 光较多, 从而原子获得的动量总是把它推往原点

变分法

变分法 (- 冷原子), 尚不成熟, 连蒙带猜

variation principle

若 \hat{H} 拆不开或 \hat{H}' 并不小 \rightarrow **变分原理**

任选 ψ , 则 $\langle H \rangle$ 可给出基态能量上限, 设计 ψ 含参数 λ , 解 $\partial_\lambda \langle H \rangle = 0$ 定 λ 得近似波函数

氦原子

近似认为原子核固定不动, $\hat{H} = -\frac{\hbar^2}{2m} \nabla_1^2 - \frac{2e^2}{r_1} - \frac{\hbar^2}{2m} \nabla_2^2 - \frac{2e^2}{r_2} + \frac{e^2}{|\vec{r}_1 - \vec{r}_2|}$, m 为有效质量

若不考虑两电子相互作用, 基态能量 $E_0 = -2 \times 4 \times R_H$,

波函数为两个电子相乘 $\psi_{100}(r_1)\psi_{100}(r_2)=\frac{Z^3}{\pi a_0^3}e^{-\frac{Z}{a_0}(r_1+r_2)}$

两电子之间的屏蔽使得电子感受到的有效核电荷 $Z < 2$, 就对 Z 做变分吧

$$\langle H \rangle = \left(\frac{Z^3}{\pi a_0^3} \right)^2 \iint \left[-\frac{\hbar^2}{2m} e^{-\frac{Z}{a_0}(r_1+r_2)} (\nabla_1^2 + \nabla_2^2) e^{-\frac{Z}{a_0}(r_1+r_2)} + \left[-2e^2 \left(\frac{1}{r_1} + \frac{1}{r_2} \right) + \frac{e^2}{r_{12}} \right] e^{-\frac{2Z}{a_0}(r_1+r_2)} \right] d\mathbf{r}_1 d\mathbf{r}_2$$

第三项的计算需要把 $\frac{1}{r_{12}}$ 展开为勒让德多项式, 只有 $l=0$ 对积分有贡献 $= (Z - 4 + \frac{5}{8}) \frac{e^2 Z}{a_0}$

$$\partial_Z \langle H \rangle = (2Z - 4 + \frac{5}{8}) \frac{e^2}{a_0} = 0 \rightarrow Z_{\min} = \frac{27}{16}, E_0 \approx -2.85 \frac{e^2}{a_0}, \text{实验结果} \approx -2.904$$

微扰论一级近似就是只有第三项, 结果 $-4 \frac{e^2}{a_0} + \frac{5}{4} \frac{e^2}{a_0} \approx -2.75 \frac{e^2}{a_0}$

(- 全同粒子) 氦原子基态波函数只能是空间对称的

空间对称的离得近, 排斥力大, 能量更高

类氦原子

强耦合薛方程

以汤川势为例 $(-\frac{1}{2m} \nabla^2 - g^2 \frac{e^{-\alpha r}}{r}) \psi = E \psi$, 强耦合 $g > 1$, 令 $\hbar = 1$, 取 $\psi(r) = e^{-S(r)}$

按 $1/g^2$ 展开, 初始项如下设置可使 V 不出现在零级方程中 $E = g^4 E_0 + g^2 E_1 + \dots$, $S = g^2 S_0 + S_1 + \dots$

零级方程 $(g^4) (\nabla S_0)^2 = -2mE_0$, 解 $S_0(r) = \sqrt{-2mE_0} r$

(开方只取正号是为了无穷远处波函数有限)

代入一级方程 $(g^2) \nabla S_0 \cdot \nabla S_1 = \frac{1}{2} \nabla^2 S_0 - m(\frac{e^{-\alpha r}}{r} + E_1)$

要求波函数及其一阶导连续, 即 $\frac{dS_1}{dr}$ 在 $r=0$ 非奇异, 得 $E_0 = -\frac{m}{2}$, $S_0(r) = mr$, $S_1(r) =$

代入二阶方程 $(g^0) \nabla S_0 \cdot \nabla S_2 = -\frac{1}{2} (\nabla S_1)^2 + \frac{1}{2} \nabla^2 S_1 - mE_2$

如此逐级求解, 基态能量 $E = -\frac{m}{2} g^4 + \alpha g^2 - \frac{3\alpha^2}{4m} + \frac{\alpha^2}{2m^2} g^{-2} + \dots$

若取 $\alpha=0$, 汤川势退化为库仑势, 基态与氢原子严格解一致

参考文献

Demtröder. Atom, Molecules and Photons (2nd ed). Springer (理论与实验并重, 好书)